

大強度ウランビーム生成用 プラズマストリッパの開発計画

理研 奥野広樹

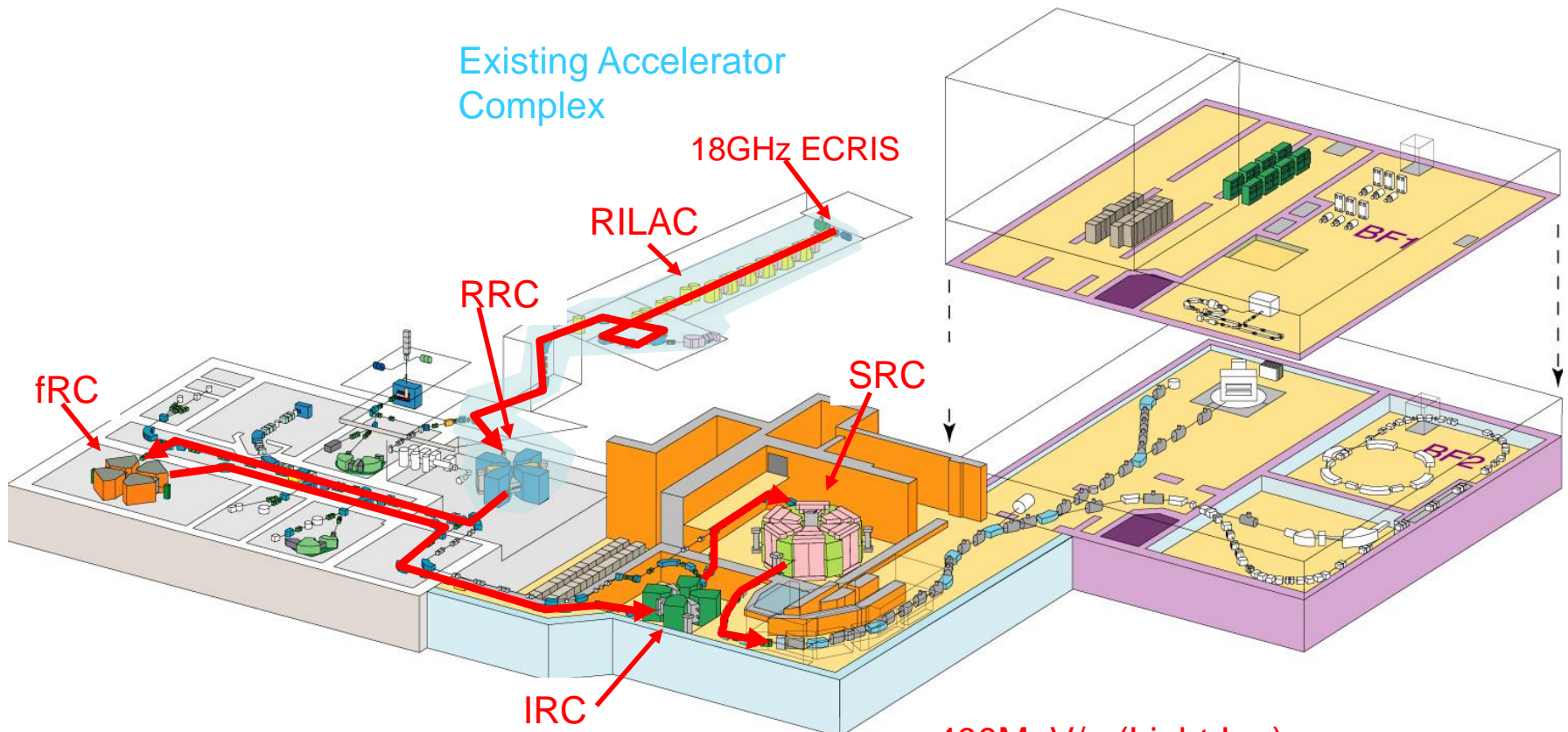
- RIBFの紹介
- RIBF加速器複合系
- 荷電変換装置の開発
- プラズマストリッパの開発計画

RIB Beam Factory (RIBF)

Operation of RIBF (1997~)

The world's most intense RI Beams over the whole range of atomic masses

Powerful Heavy Ion Accelerator (Projectile Fragmentation)



New Cyclotron System

18GHz ECR + RILAC + RRC + fRC + IRC + SRC



400 MeV/u (Light Ion)

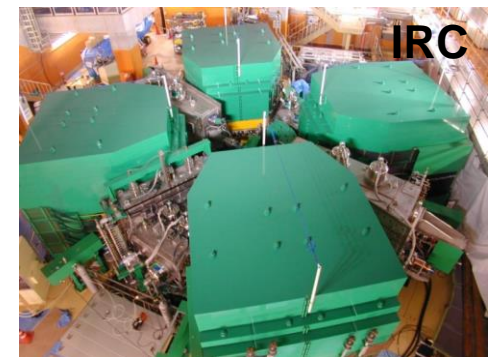
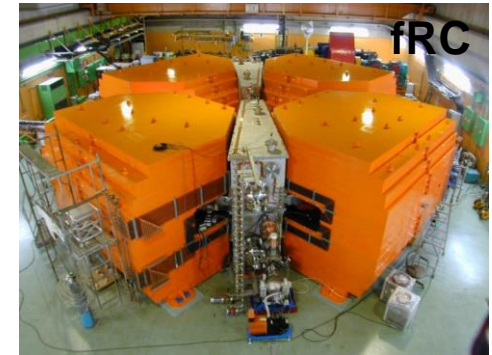
350 MeV/u (Very Heavy Ion, Uranium)

$I = 1 \mu\text{A} (6 \times 10^{12} \text{ #/s})$

Specifications of RIBF ring cyclotrons

Challenging

	fRC	IRC	SRC	RRC (1986~)
K-number (MeV)	700	980	2600	540
R_{inj} (cm)	156	277	356	89
R_{ext} (cm)	330	415	536	356
Weight (tons)	1300	2900	8300	2400
Sector magnets	4	4	6	4
Number of trim coils (/ main coil)	10	20	4 (SC) 22 (NC)	26
Trim coil currents (A)	200	600	3000 (SC) 1200 (NC)	600
RF resonators	2+FT	2+FT	4+FT	2
Frequency range (MHz)	54.75	18~38	18~38	18~38
Acceleration voltage (MV)*	0.8	1.1	2.0	0.28
Turn separation (cm)*	1.3	1.3	1.8	0.7



*uranium acceleration

SC : superconducting, NC : normal conducting, FT : flattop resonator

Courtesy of N. Fukunishi

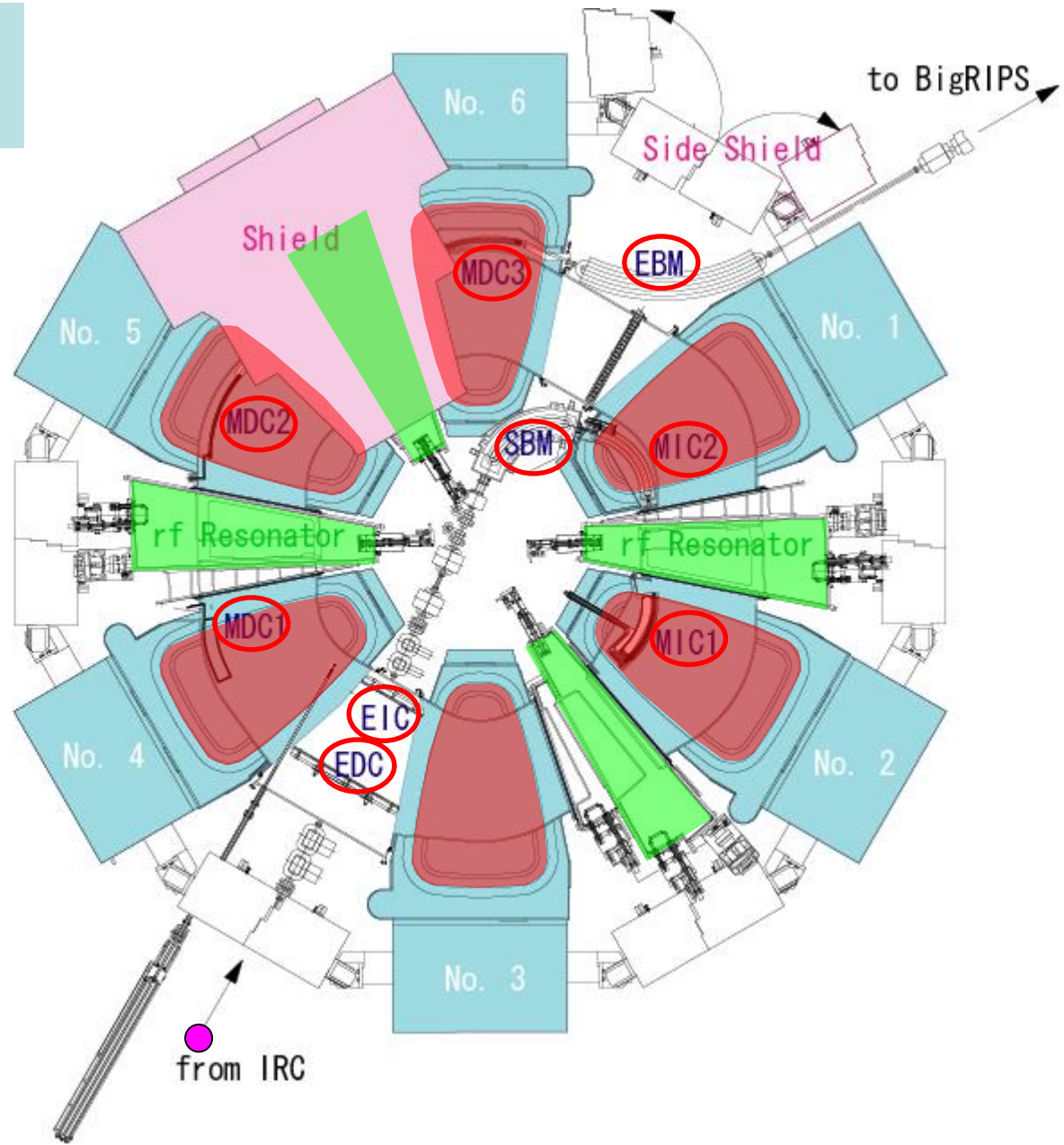
SRC: the World's First Superconducting Ring Cyclotron

K: the maximum bending power of extracted beam from the cyclotron

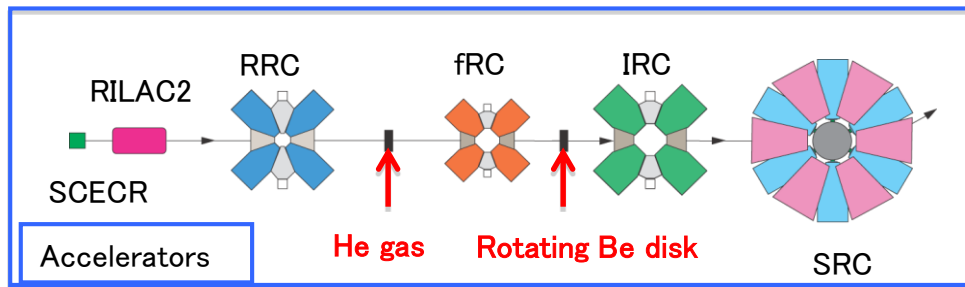
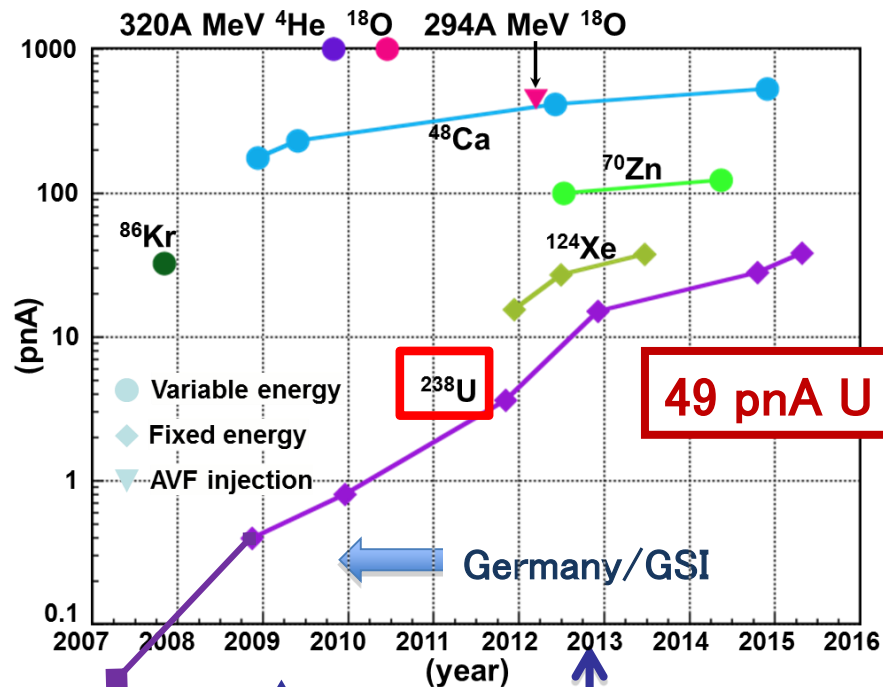
K = 2,600 MeV
Max. Field: 3.8T (235 MJ)
Rf frequency: 18-38 MHz
Weight: 8,300 tons
Diameter: 19m Height: 8m
Total acceleration: 640 MV

Sector Magnets :6
Rf Resonator :4
Injection elements:
Extraction elements:

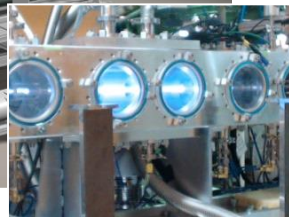
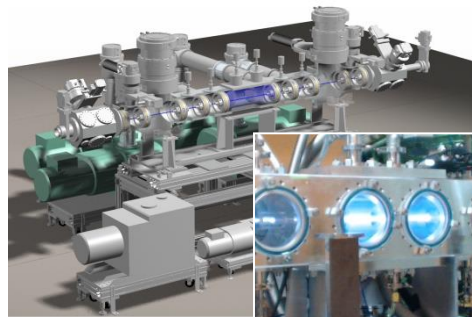
Self Magnetic Shield
Self Radiation Shield



Intensity upgrade at RIBF



49 pA U ($\sim 3 \times 10^{11}$ #/s 2015)



RIBF starts!

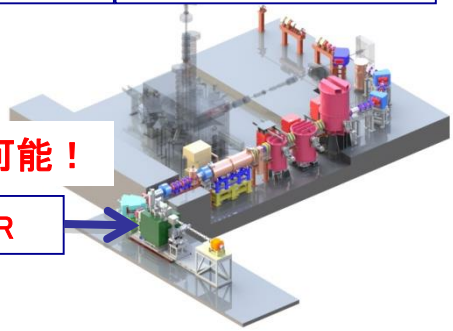
Transmission of the beam: improved
Stability of the devices: improved

The new injector (RILAC2) starts!

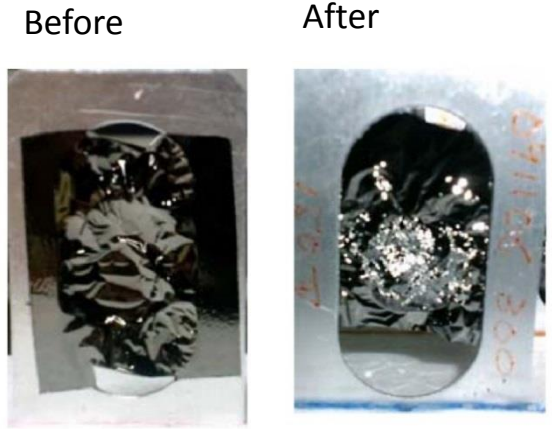
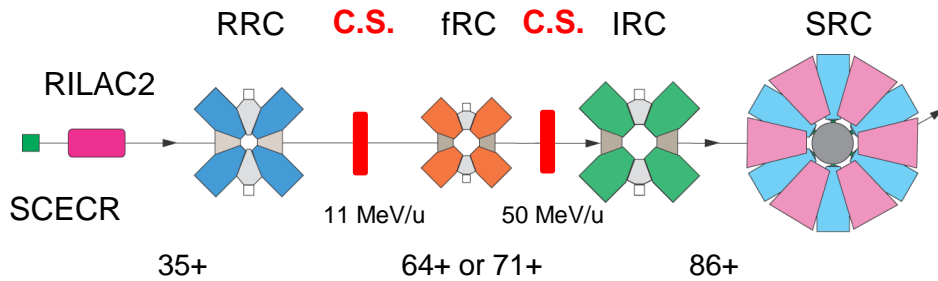
He gas stripper
Rotating Be disk
fRC upgrade (K570 \Rightarrow K700)

大強度多価イオン生成が可能!

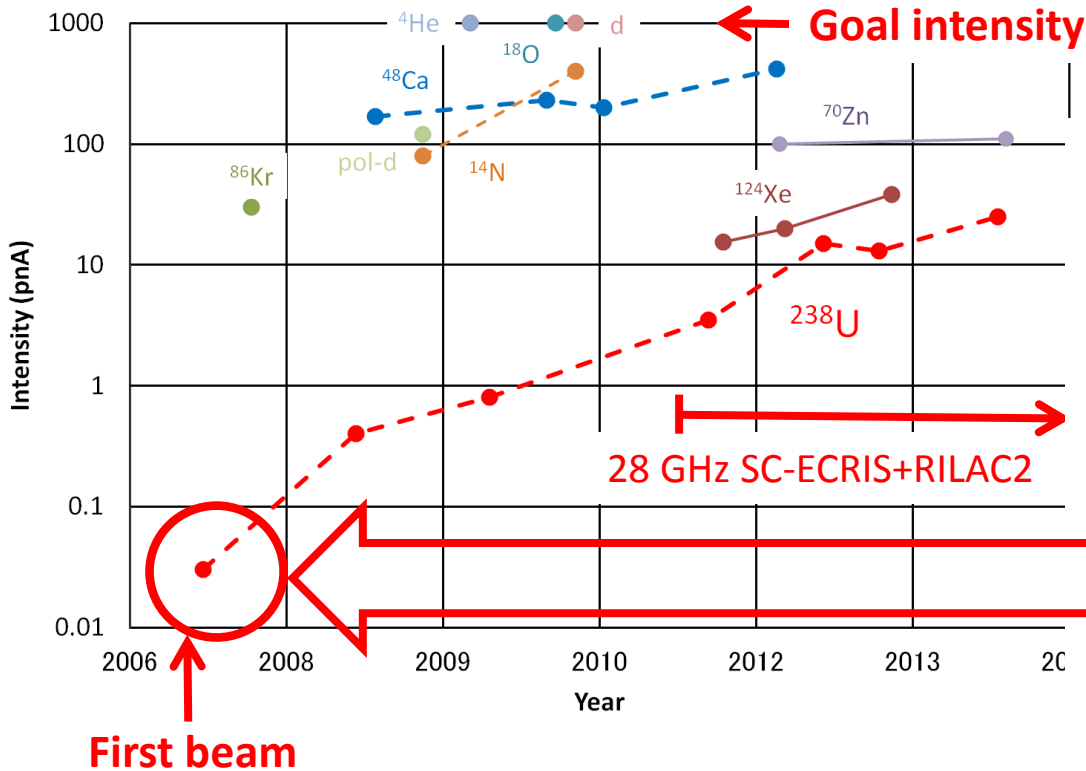
28-GHz SC-ECR



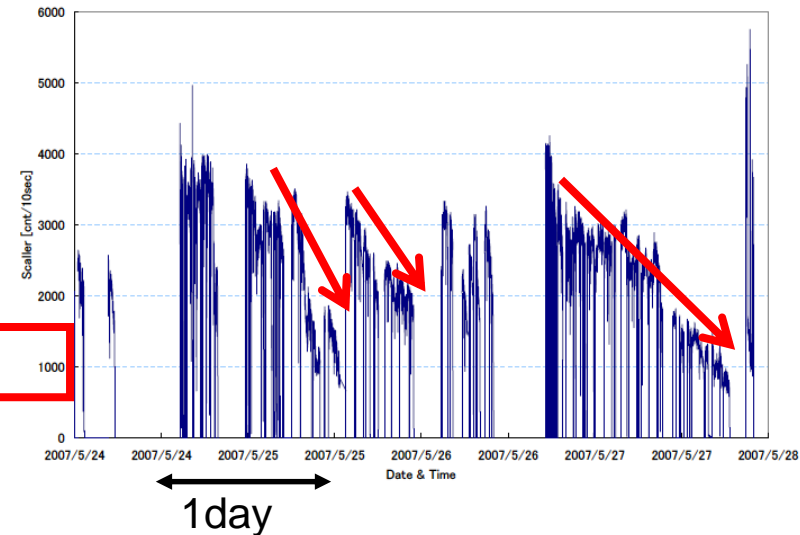
R&D studies on charge strippers (motivation)



Achieved beam intensity



Current at exit of SRC in 2007

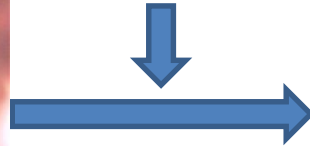


History of R&D on the 1st stripper

Rotating cylinder with a large foil

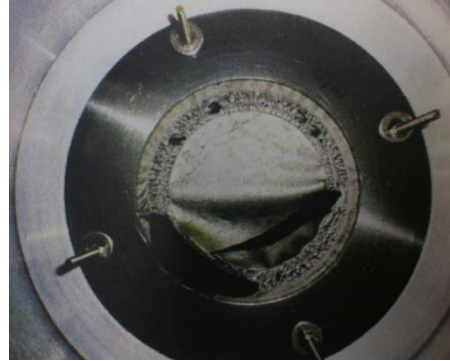


Carbon NanoTube foil



Slow rotation

CNT-SDC foils
(User run in 2011)



Foil

2008

2009

2010

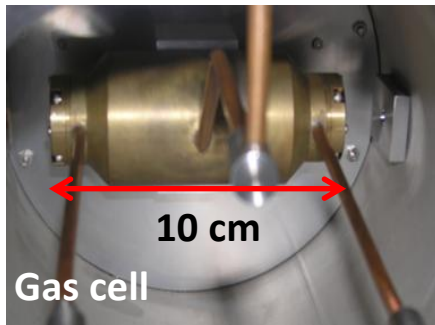
2011

2012

2013

2014

Charge states in N_2 , Ar, CO_2
Is lower than acceptable charges.



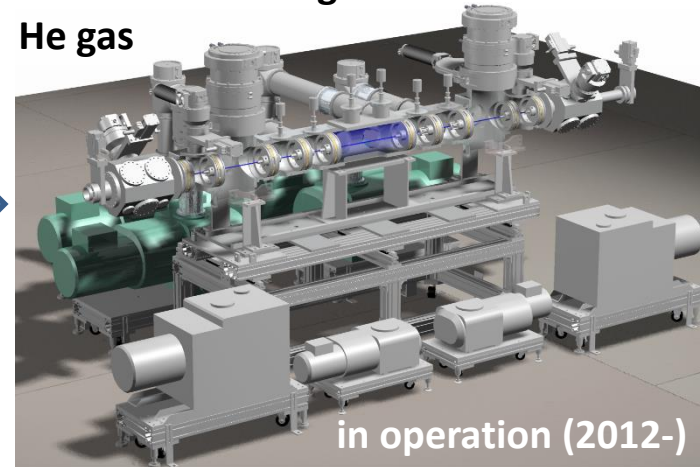
10 cm

Gas cell

He gas stripper
8 m and 0.5 m prototypes

Cross section of e-loss
and e-cap in Low-Z gas

Technical challenge: Confinement of He gas

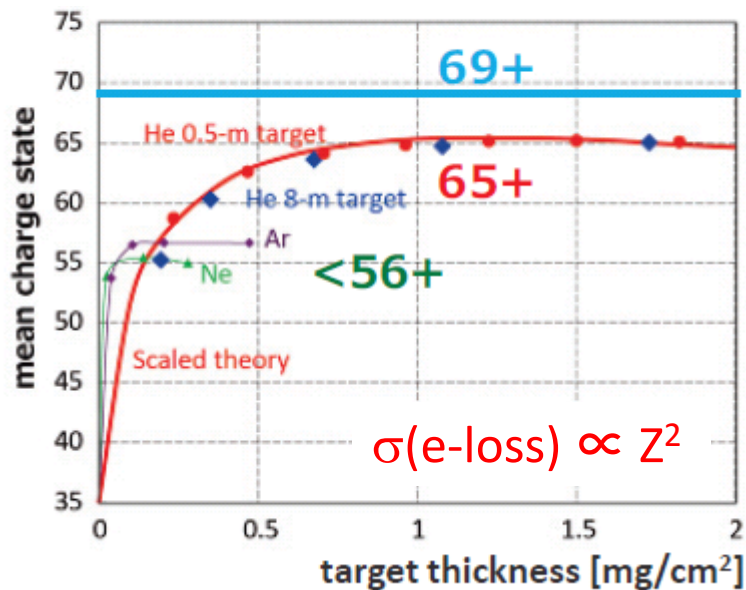


in operation (2012-)

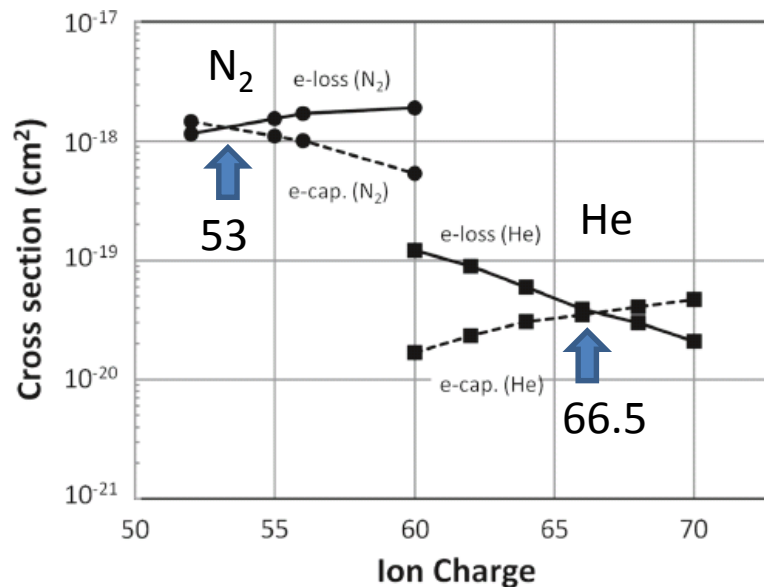
Gas

Fundamental data for the 1st charge stripper

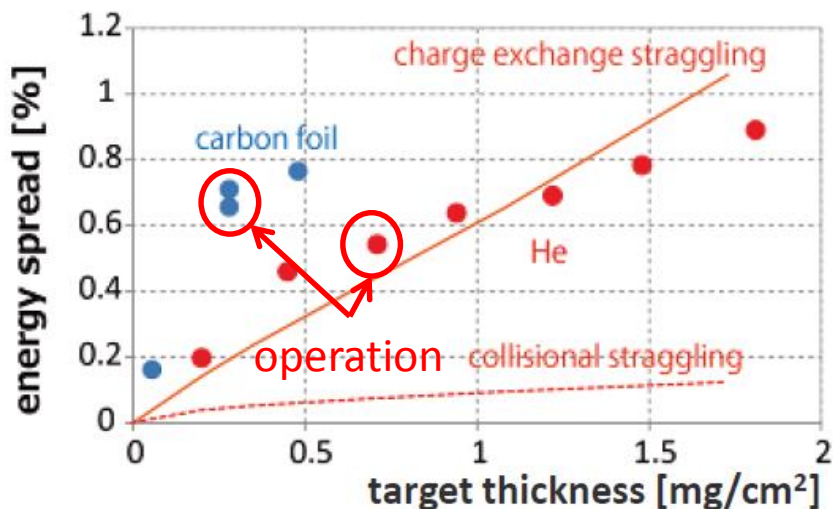
Charge evolution



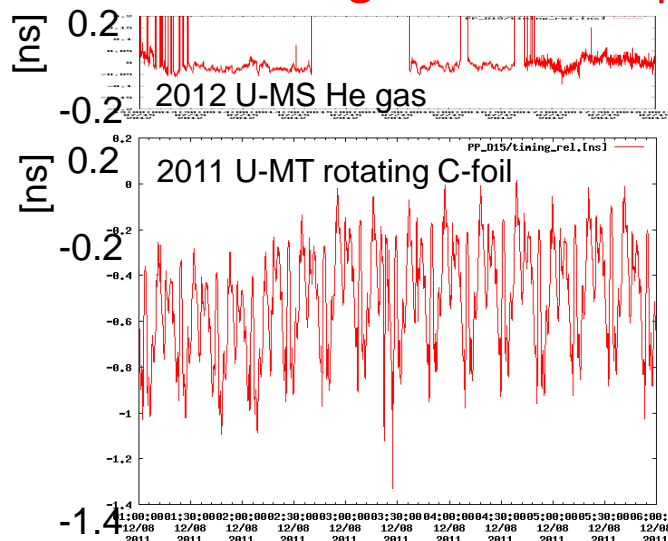
$\sigma(1e\text{-loss})$ and $\sigma(1e\text{-cap})$



Energy spread after charge strippers

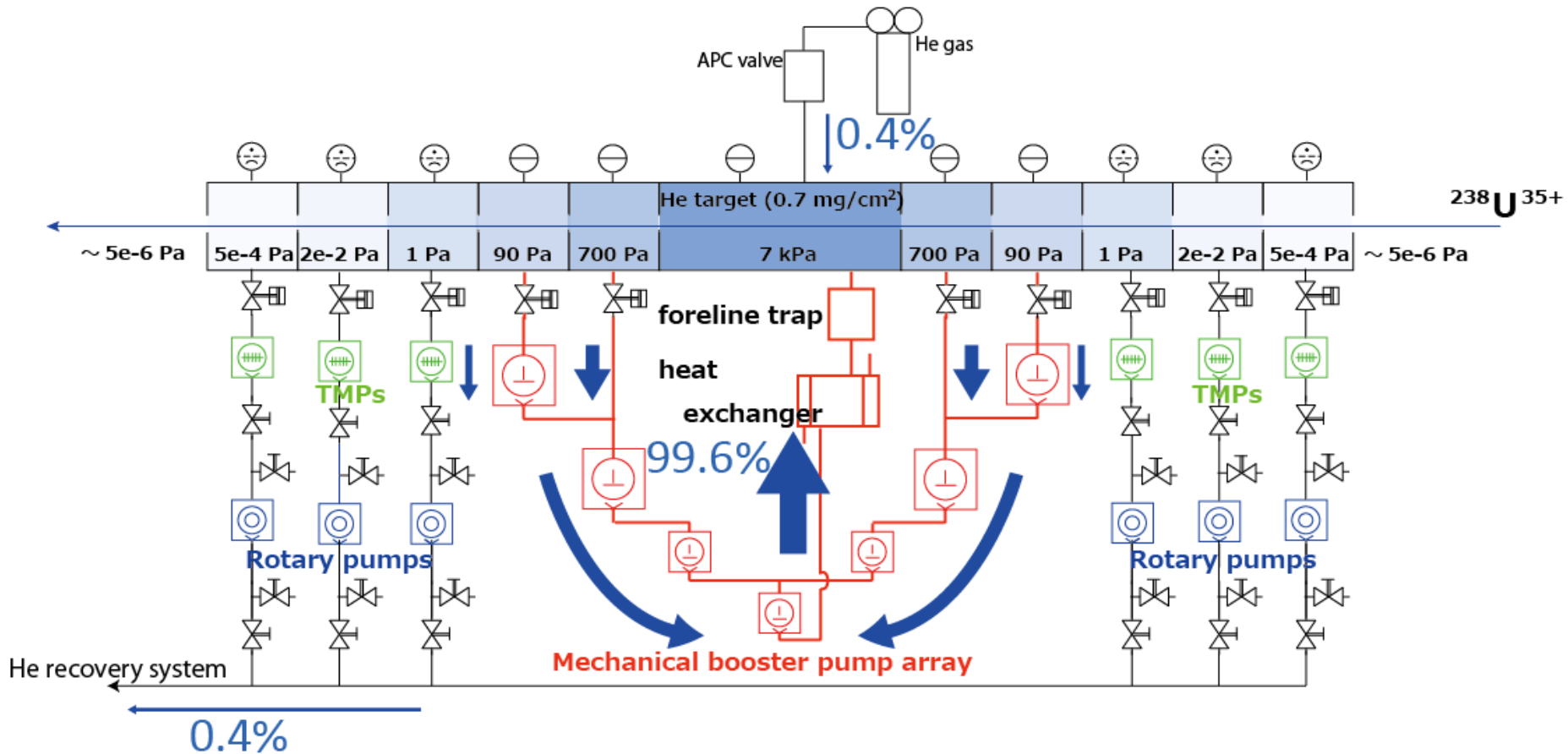


Jitter of beam timing after the stripper



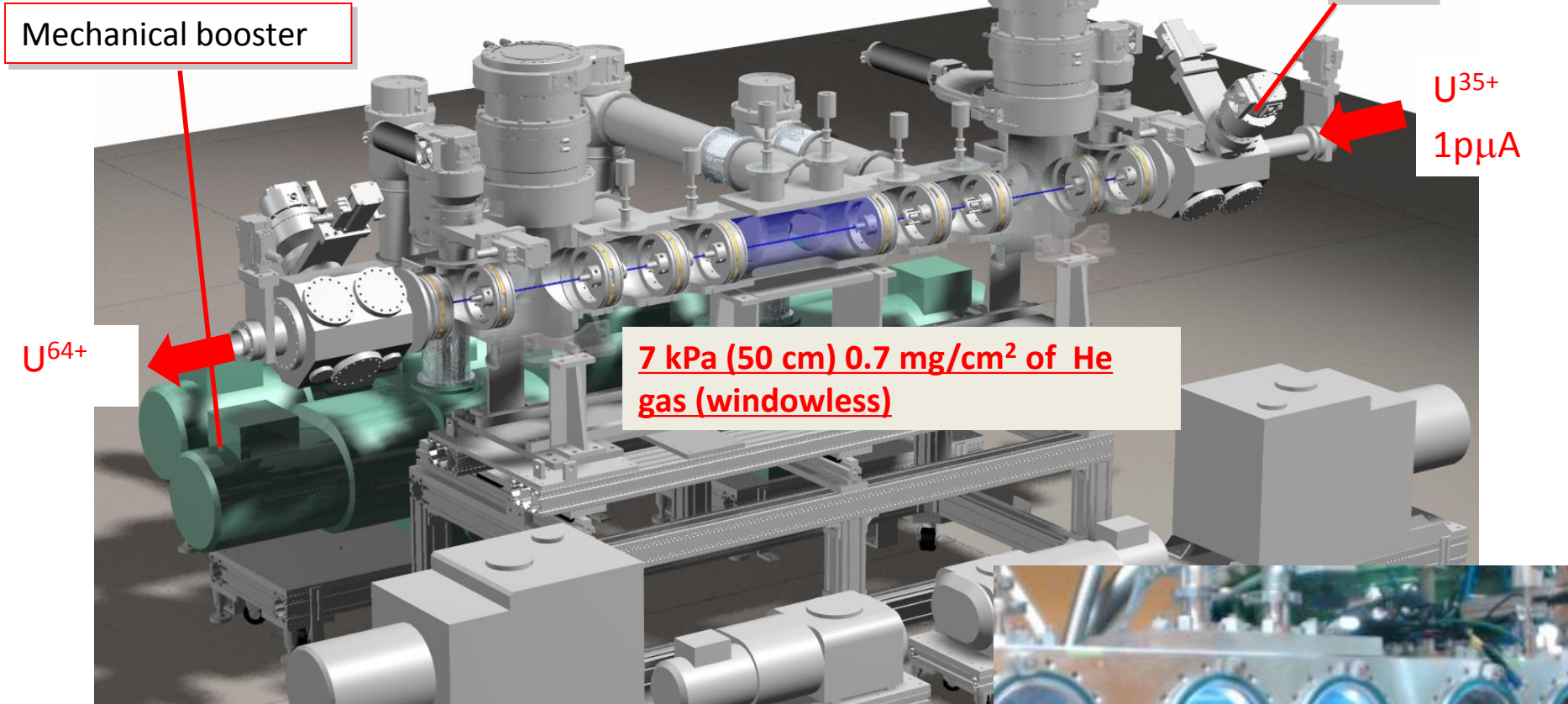
Windowless He accumulation system

- 7 kPa (0.7 mg/cm²) He gas target
- 5stage differential pumping system
- Recirculation by Mechanical booster pump array (oil free)



He-gas stripper @ 11 MeV/u (1st stripper)

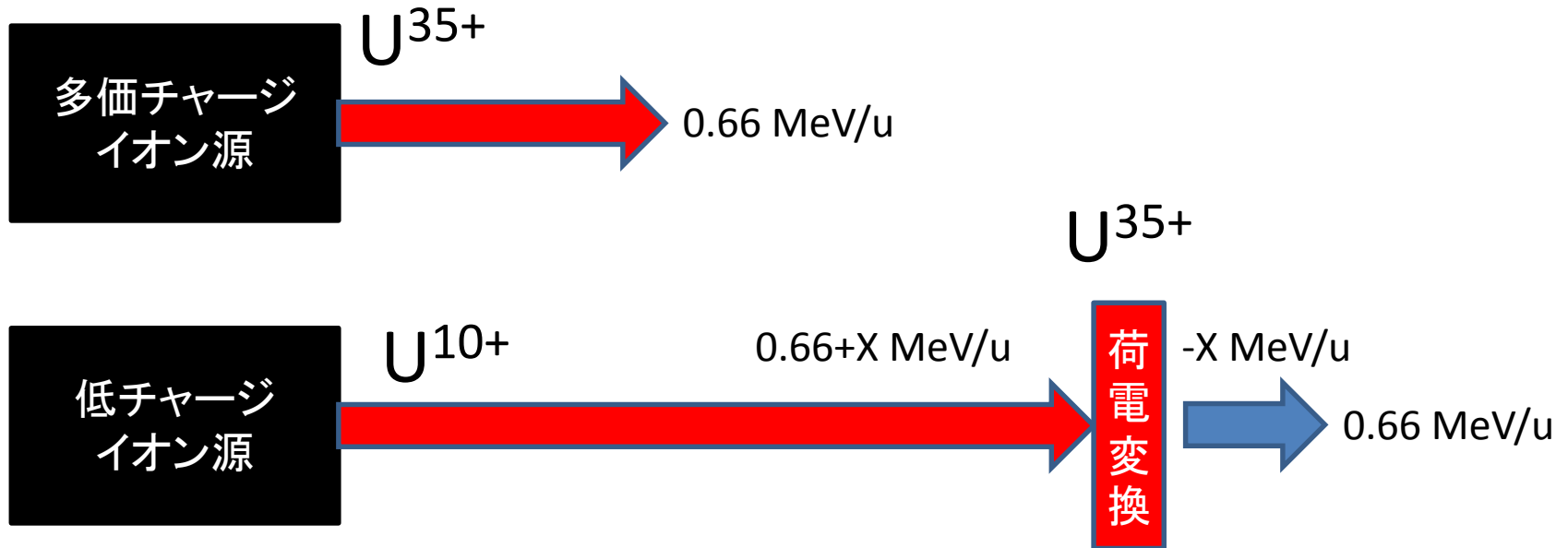
H. Imao et al, Phys. Rev. ST Accel. Beams 15 (2012) 123501



Large beam aperture: $> \phi 10 \text{ mm}$
8 order pressure reduction: $7,000 \text{ Pa} \Rightarrow 10^{-5} \text{ Pa}$
5 stage differential pumping: 21 pumps
He circulating volume: $300 \text{ m}^3/\text{day}$
(unique recycling system)



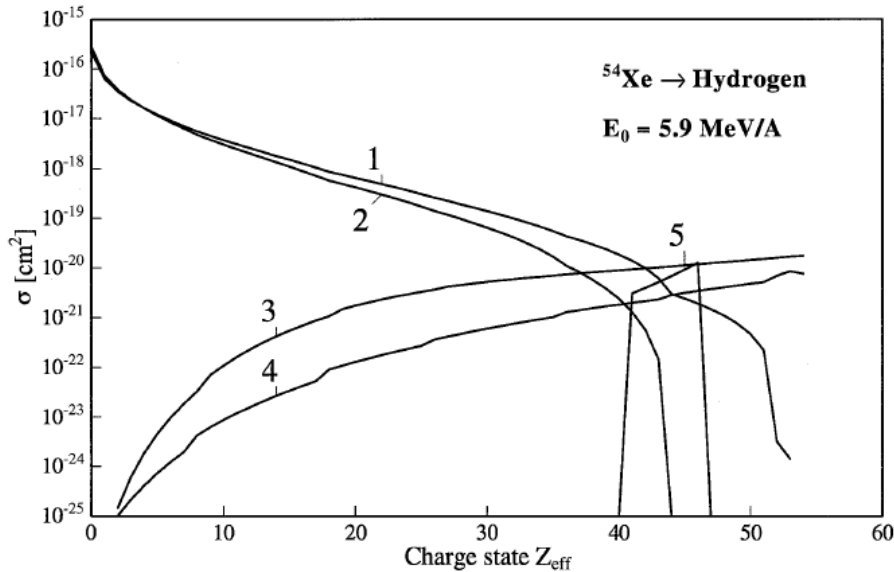
どちらが大強度を出せるか？



収量、ブライツネス、加速コスト

ストリッパの形態
固体はまず無理
水素(He)ガス
水素(He)プラズマ
(ガスよりも価数が高い)

プラズマストリッパーは低エネルギーほど有利



- 1 Collisional ionization by ions
- 2 Coulomb collision with free electrons
- 3 bound electron capture
- 4 radiative electron capture = $\sigma(3) \times 1/100$**
- 5 Dielectronic recombination

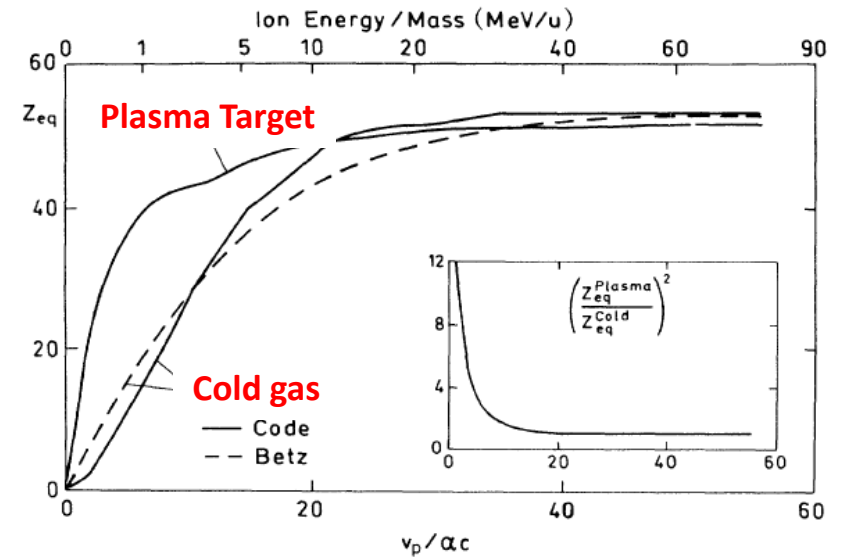
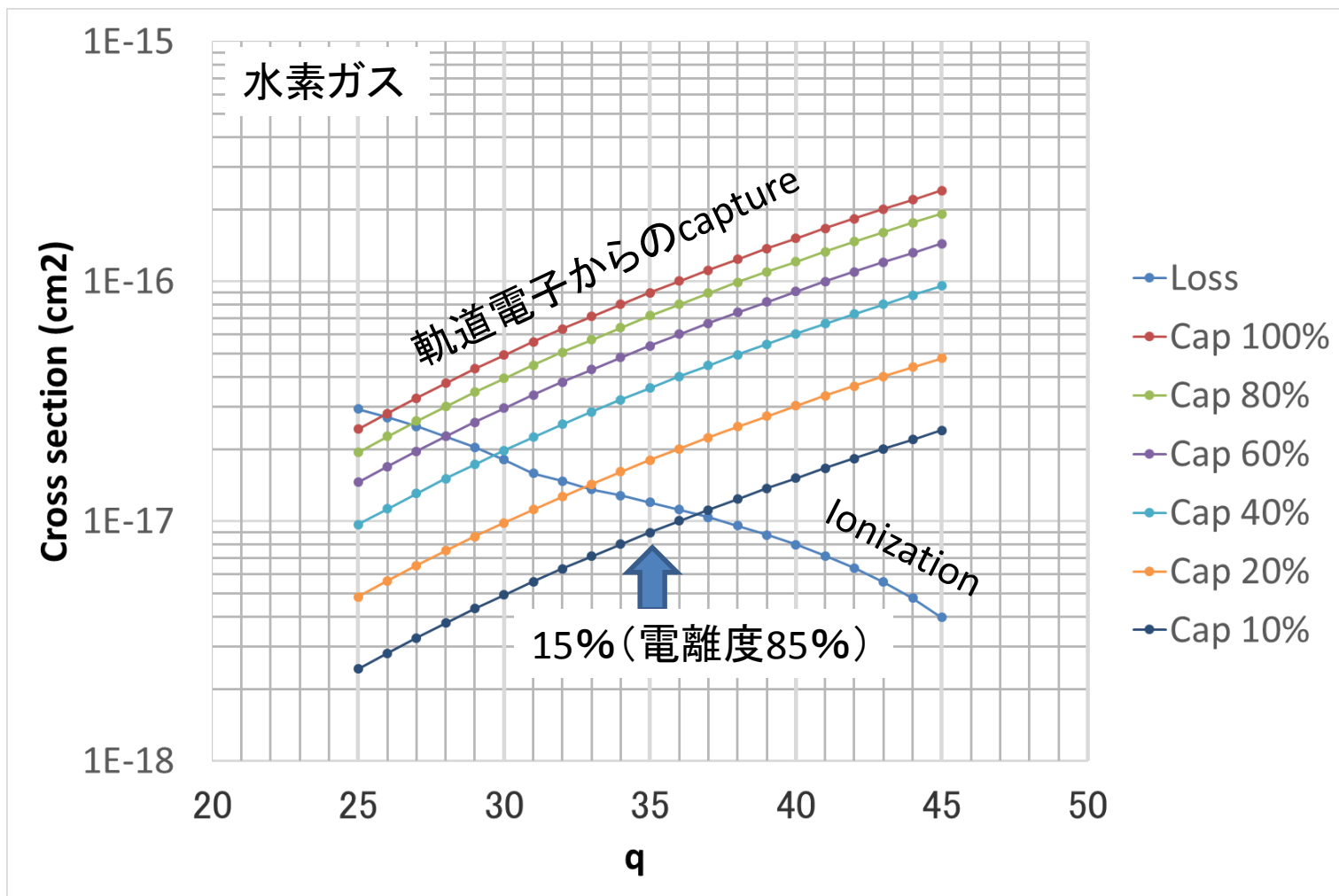


FIG. 4. Equilibrium charge state Z_{eq} for $I \rightarrow H$. The target is either 10-eV hydrogen plasma with $n_e = 10^{17} \text{ cm}^{-3}$ or cold hydrogen gas of the same density; dielectronic recombination is not considered.

U(1.4 MeV/u)+水素で得られる価数



$\sigma(\text{軌道電子からのcapture}) \gg \sigma(\text{自由電子からのcapture})$
断面積の中性ガスでのデータを取得する予定

電離度 (SAHAの式)

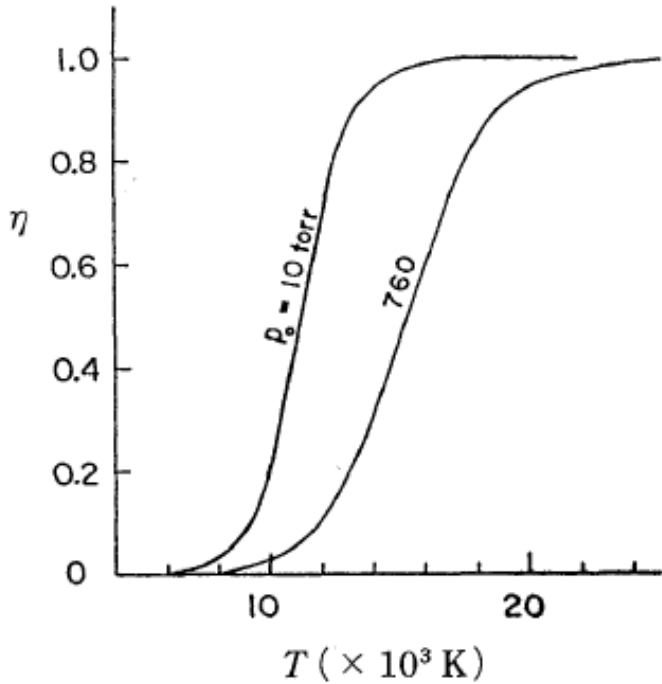
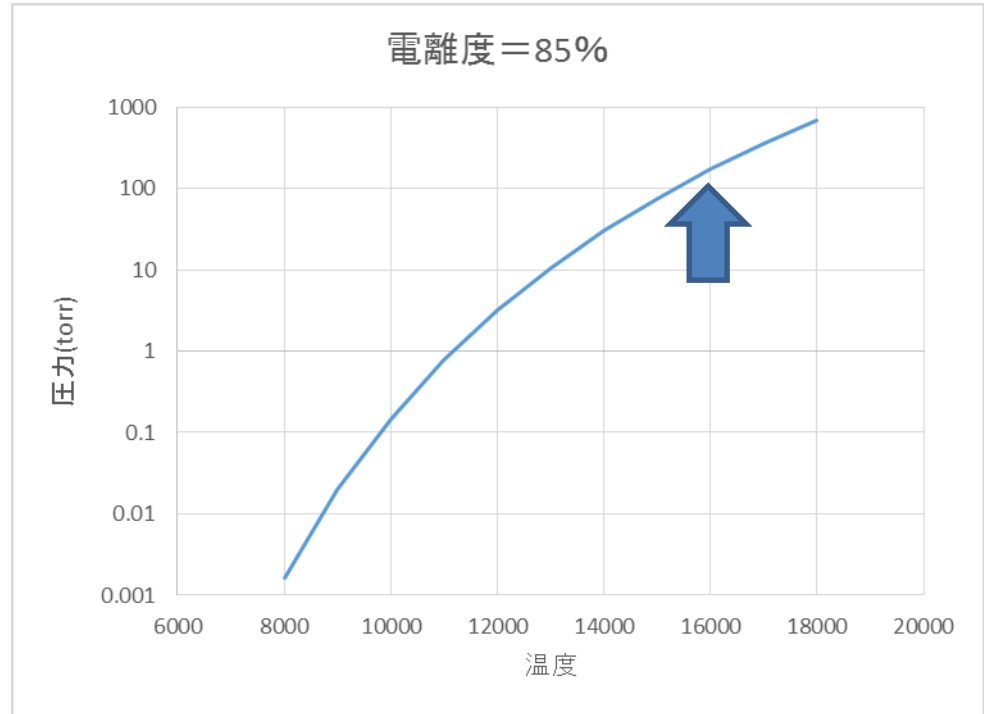


図 2. 4 高温水素の電離度 (サハの式による)



電離度85%を得るためには、
例：T=16000K, p0=170 torr

$$\frac{\eta^2}{1 - \eta^2} = 2.5 \times 10^{-4} \frac{T^{5/2} (\text{K})}{p_0 (\text{torr})} \times \exp\left(-\frac{1.57 \times 10^5}{T (\text{K})}\right) \quad (2.10)$$

必要な厚み(20ug/cm²と仮にして)

- ガス: 水素
- T=16000K, P=170 torr, 長さ: 50cm
- Thickness=17ug/cm²
- プラズマの密度: 10¹⁷/cc

Difficulty in accumulation of low-Z gas

The existing gas stripper : He $\sim 15 \mu\text{g}/\text{cm}^2$ (0.7 kPa)
(cf. N₂ 1.3 mg/cm²)

$\sim 1\text{mg}/\text{cm}^2$ of low-Z gas is necessary to be accumulated to get higher charge state.

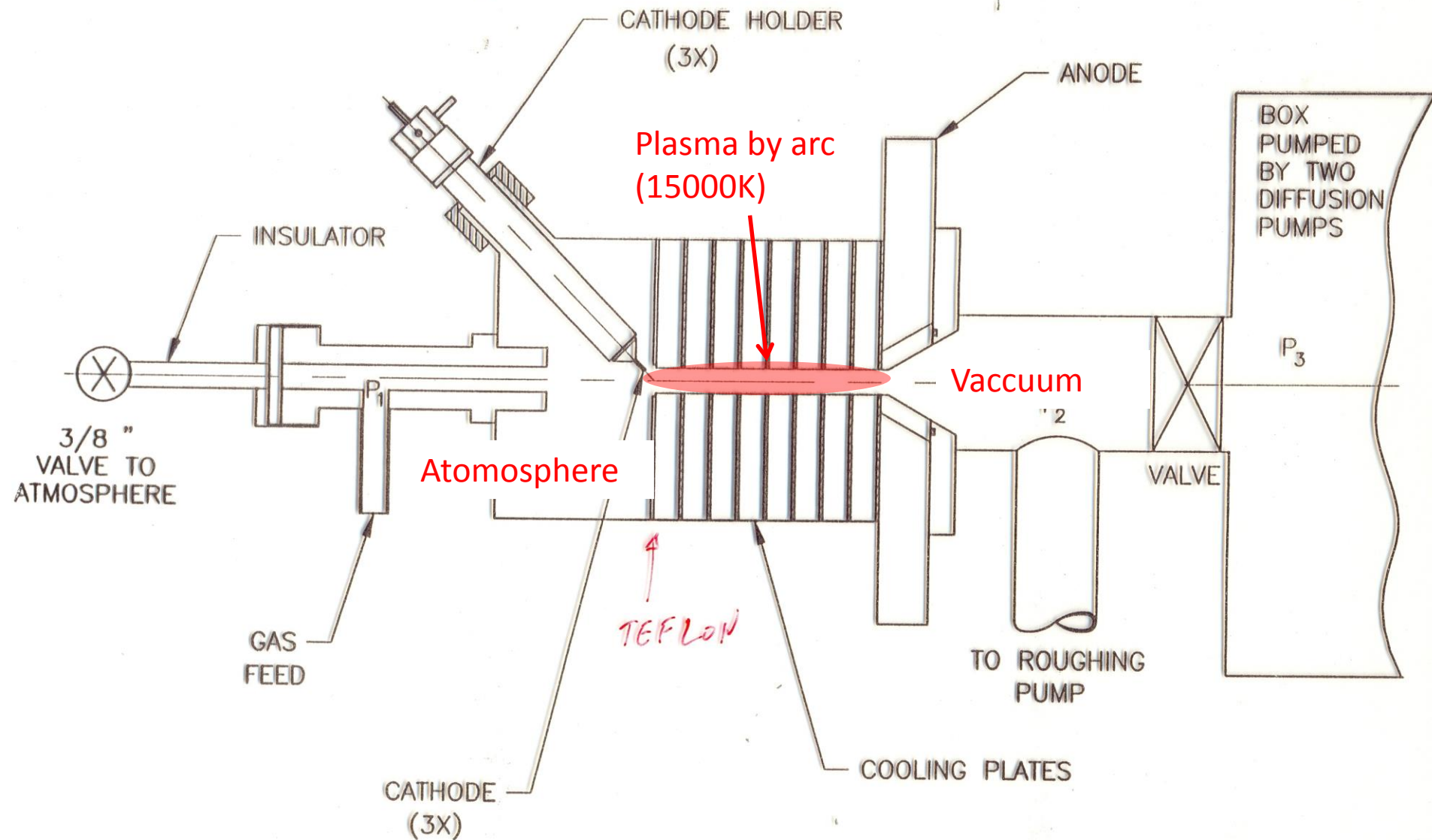
→ *A new device to make it possible ...*

Plasma Window (1995-)

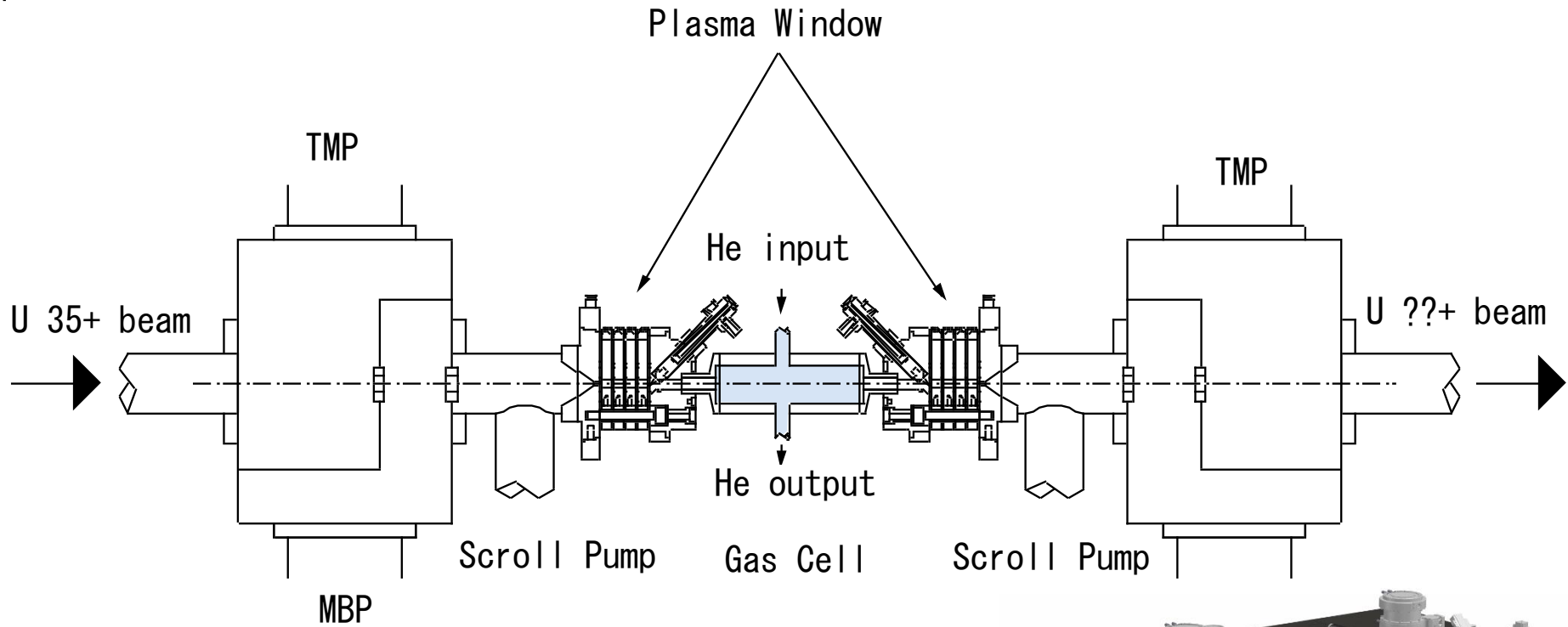
Inventor : Ady Hershcovitch (BNL)



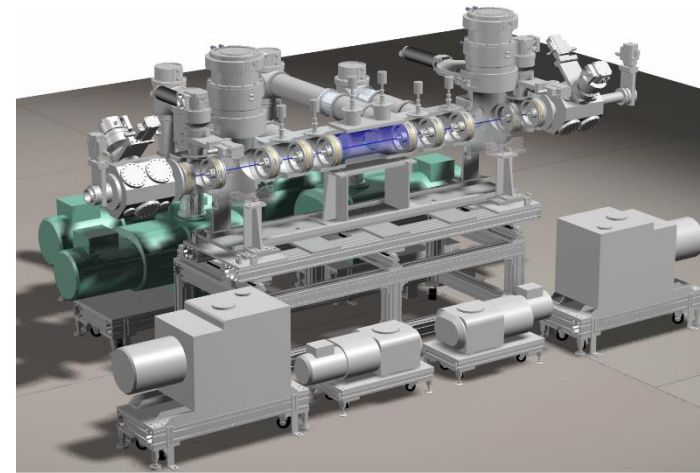
Plasma Window (Wall Stabilization Theory)



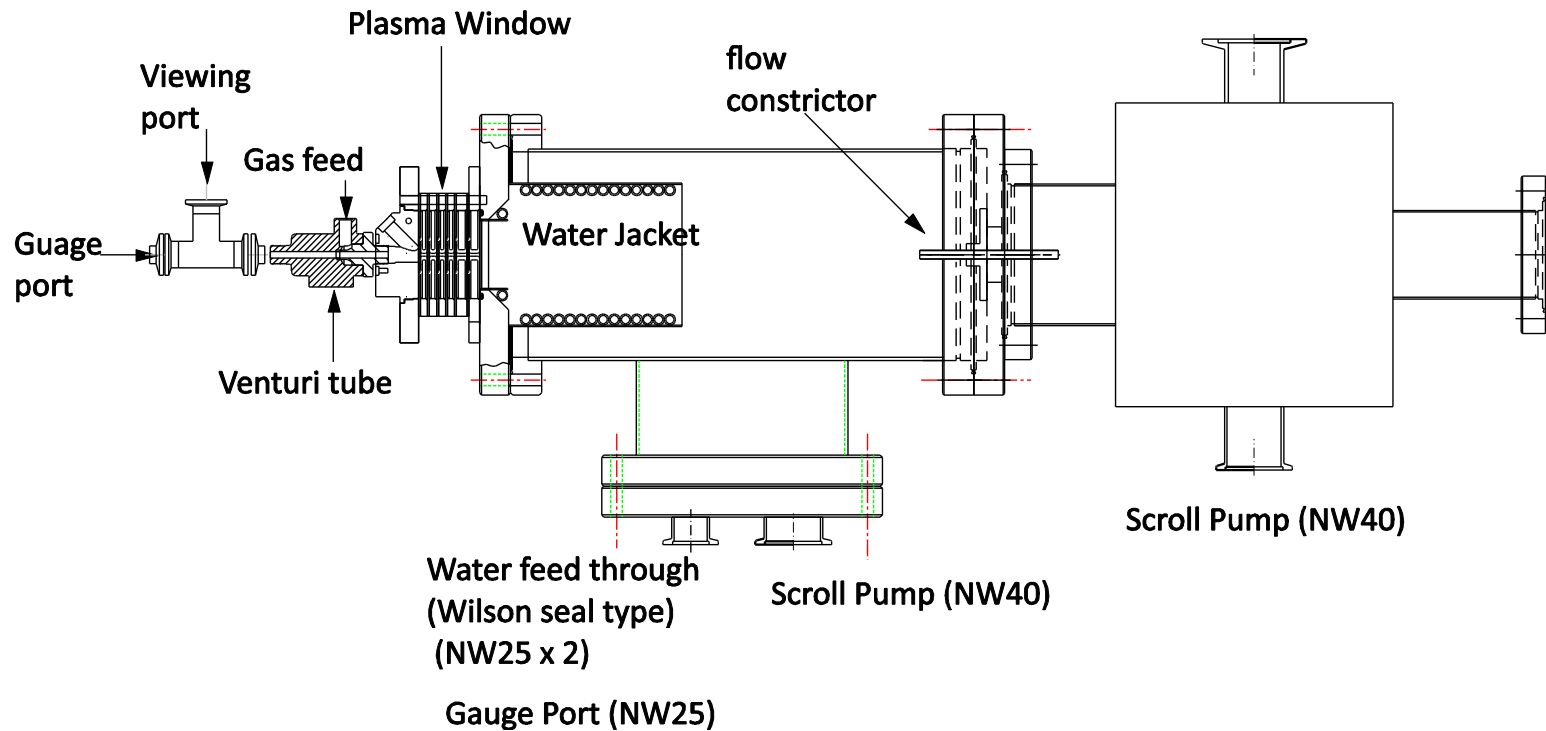
Schematic sketch of the low-Z gas stripper using two plasma windows



実際は、通常の差動排気を用いた



R&D on Plasma Window at RIBF (-March 2011: Kuboki)



Results: Ar \rightarrow He, $d = 2 \text{ mm} \rightarrow 6 \text{ mm}$ (~2013)

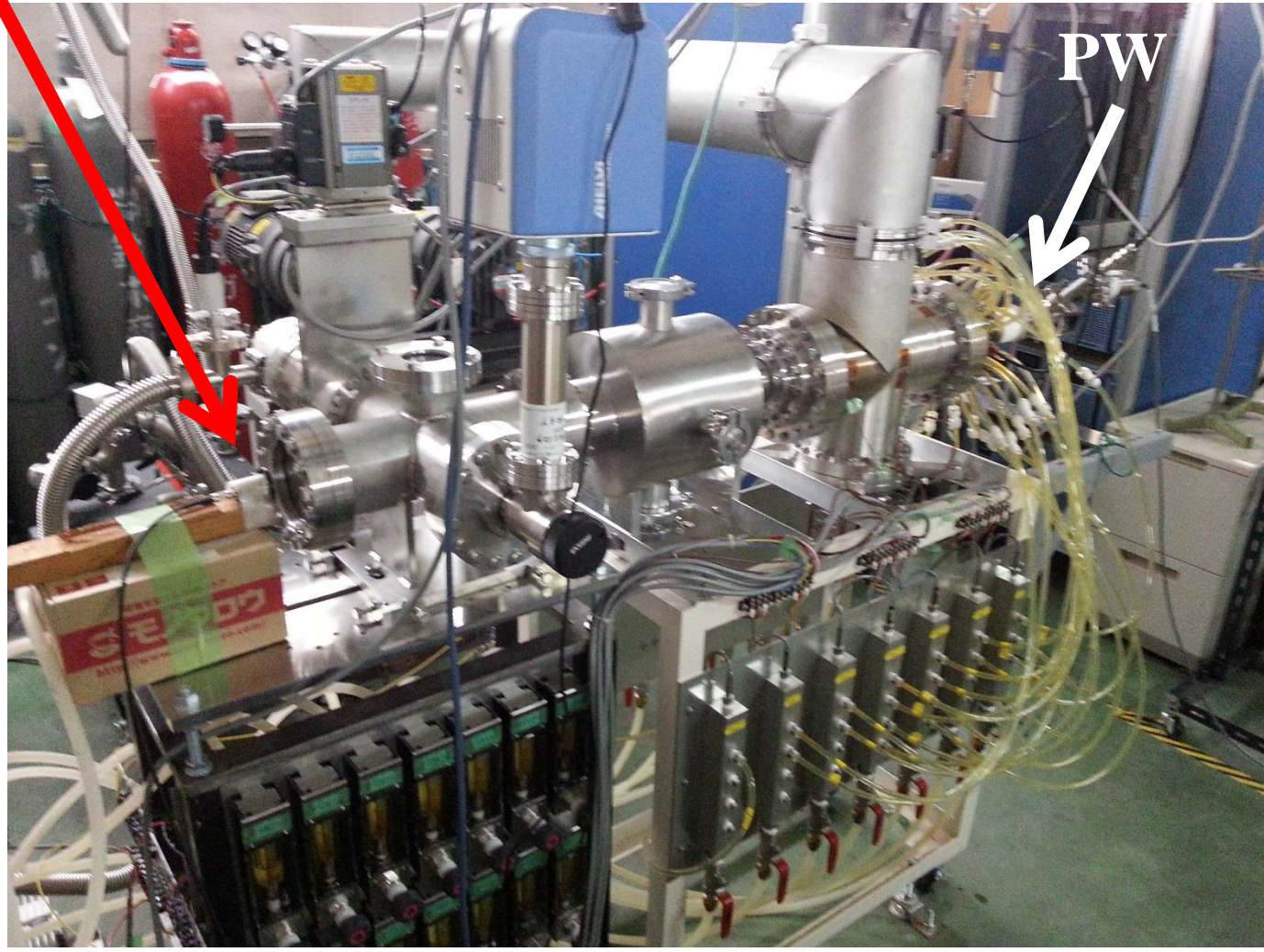
gas cell with one plasma window

Restart: toward Larger aperture of 1~2cm (Sep. 2015, Ikoma)

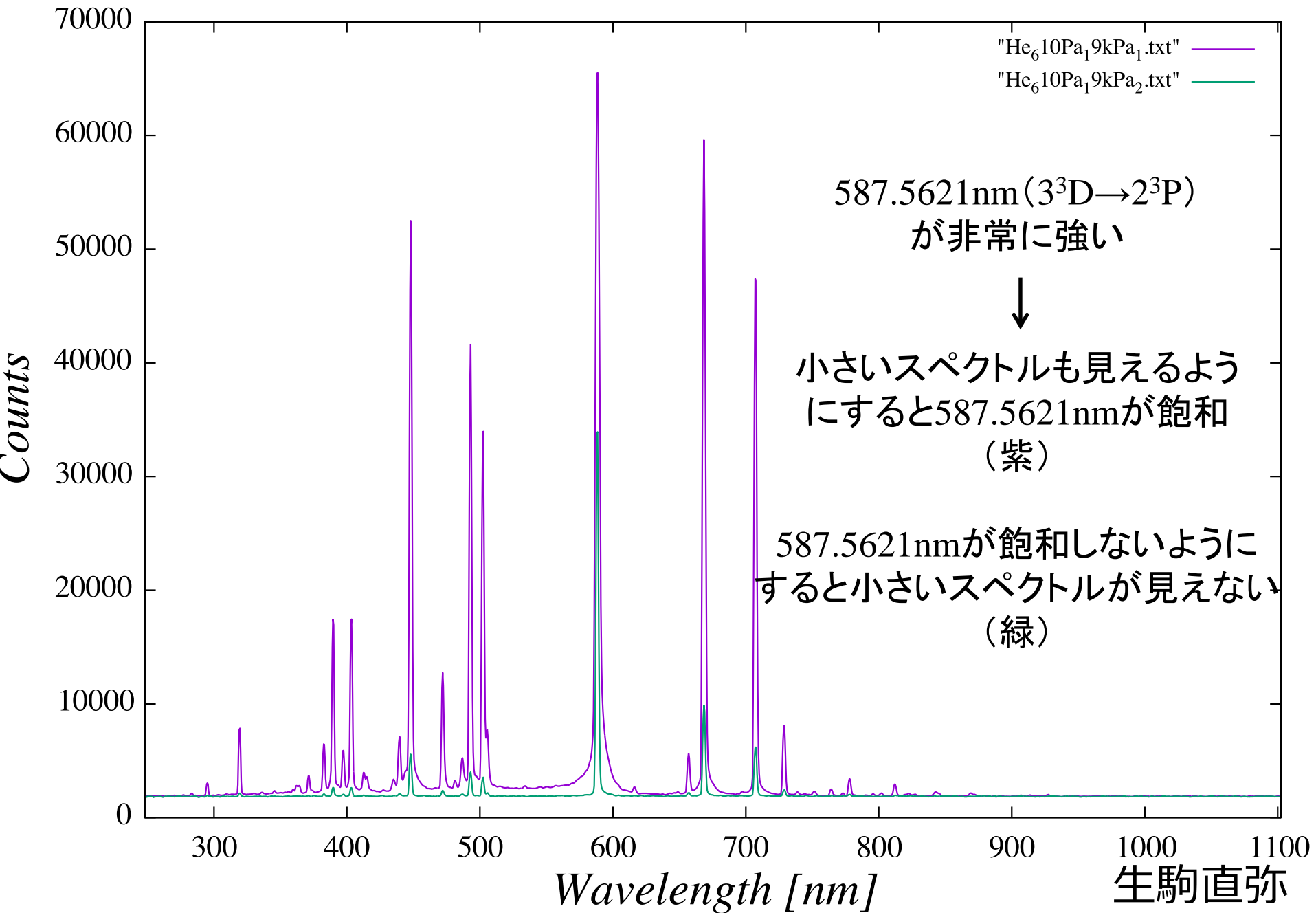
Spectroscopy of arc plasma (with help from Prof. Namba)

実験セットアップ

コリメータ

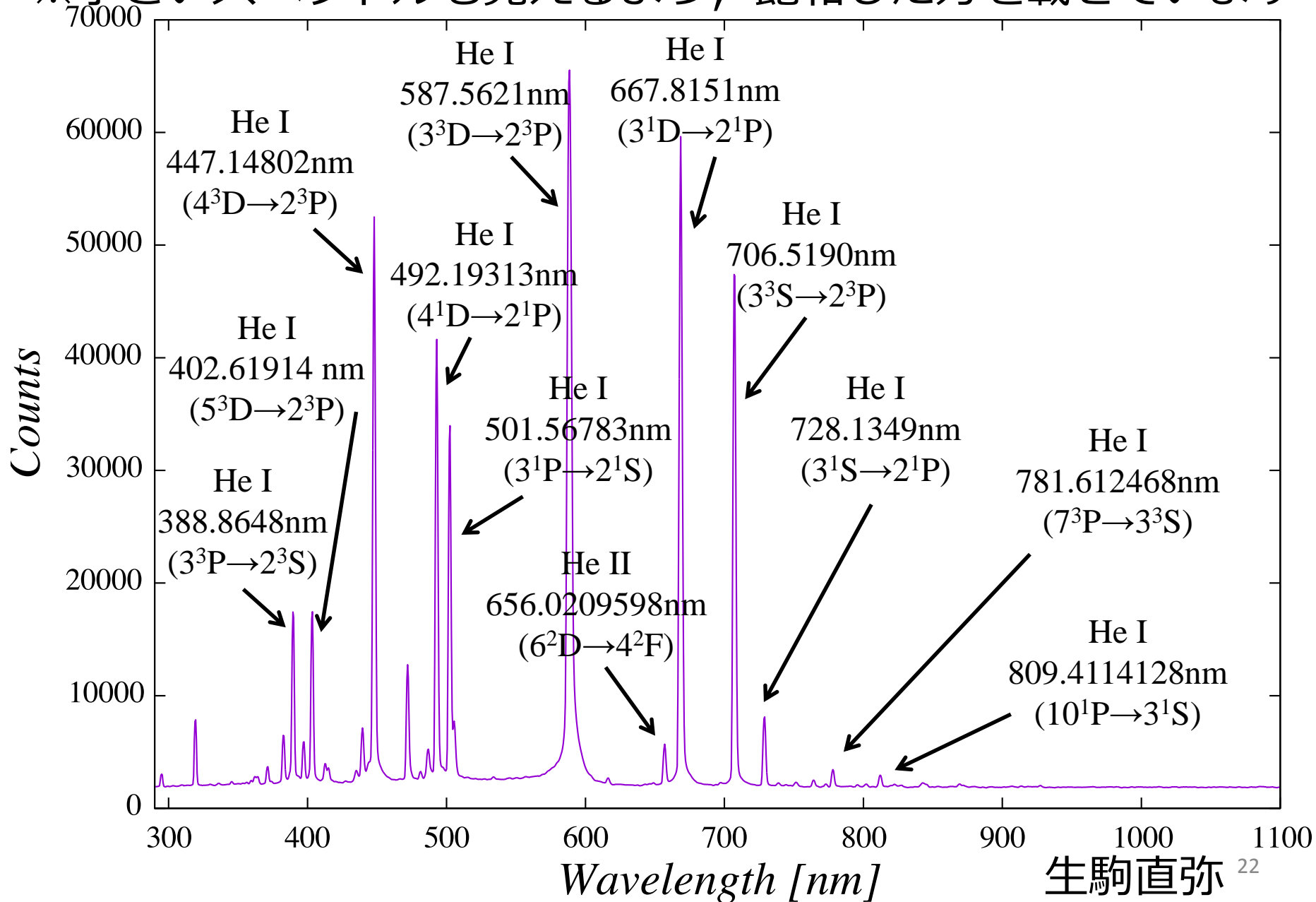


He (5枚, 真空側から)



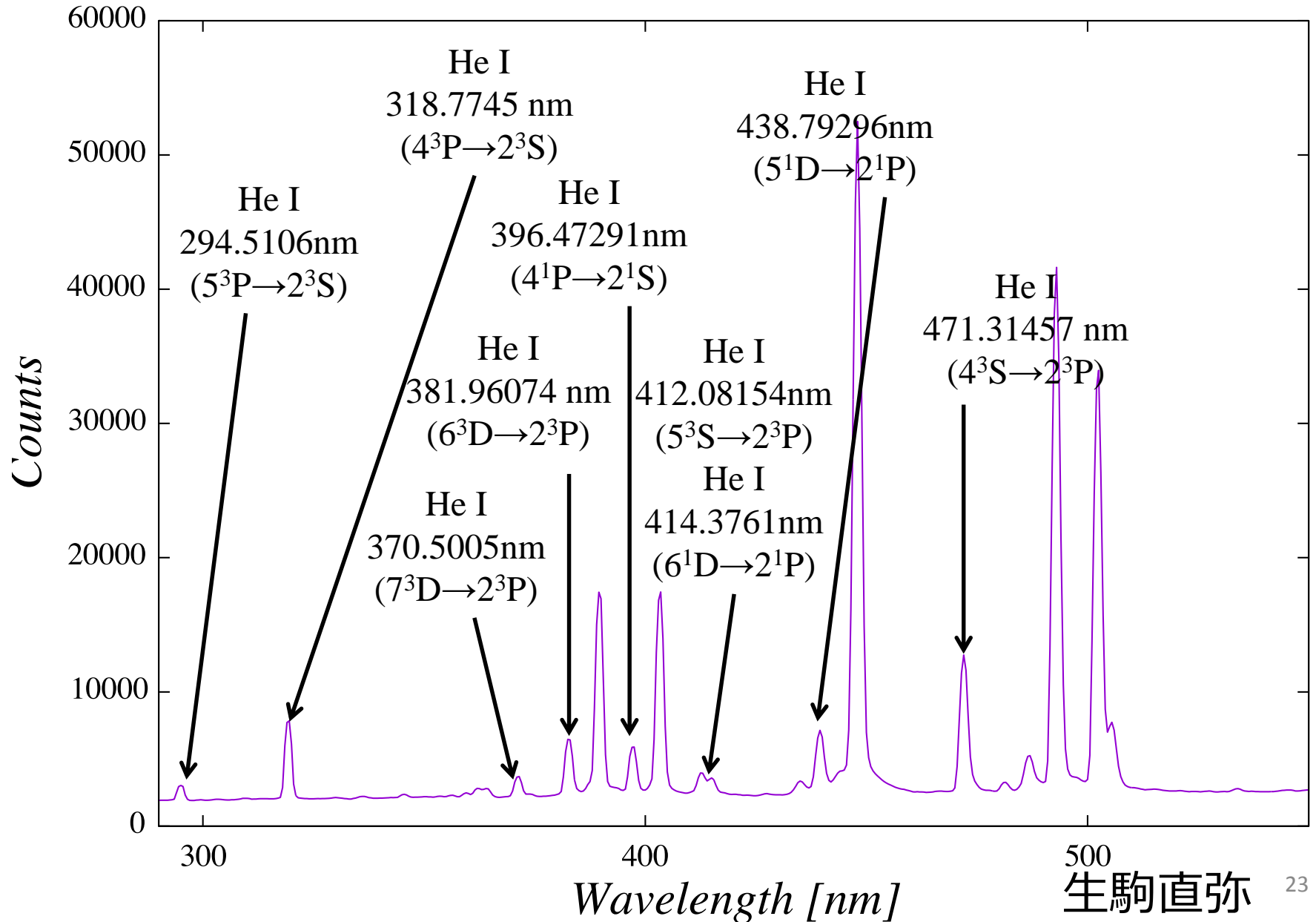
スペクトルのアサイン (その1)

※小さいスペクトルも見えるよう、飽和した方を載せています



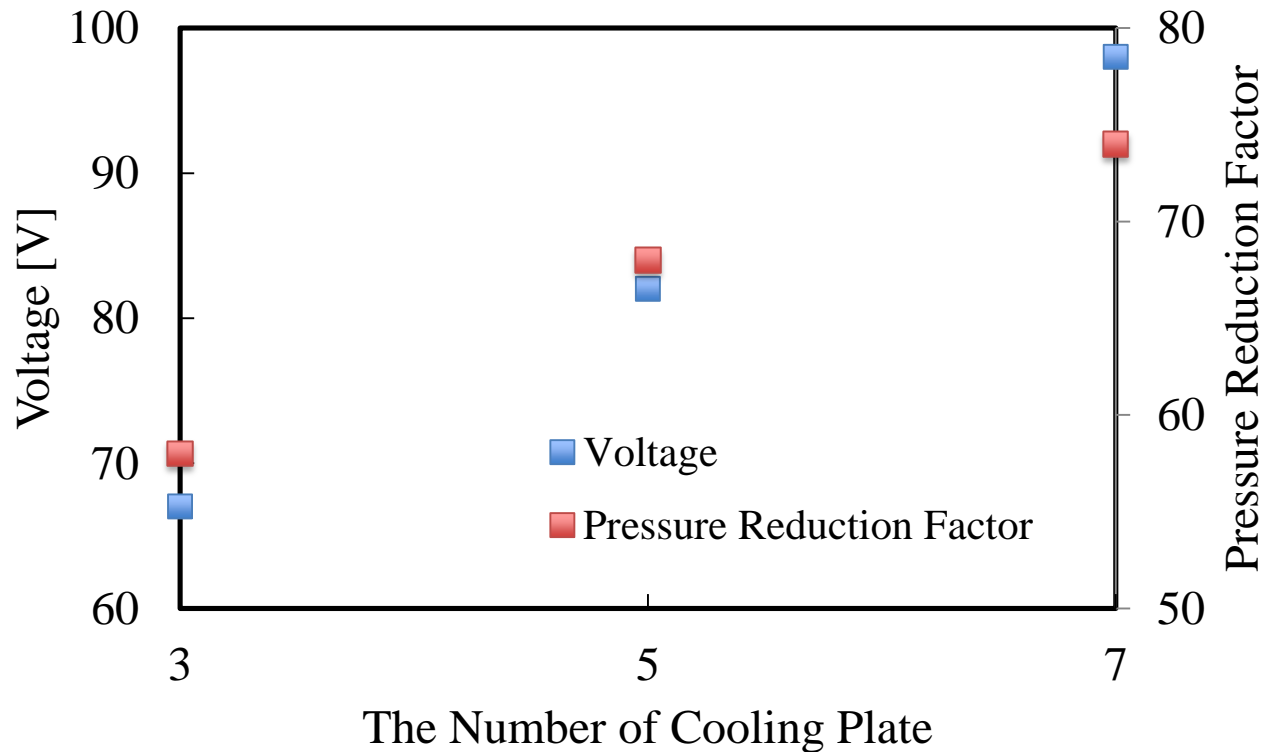
スペクトルのアサイン (その2)

※短波長側, 拡大



PW性能の長さ（中間電極枚数）依存性

電流は36A/Cathode, 流量は17.1slm固定



中間電極枚数に比例し，電圧，圧力比が増加

まとめ

- RIBF加速器は、2007年から、順調にウランイオンビームのビーム強度を増やしている。
- 多価イオン源のビームを増加させると、エミッタンスも増加し、ブライトネスが増えず、結果的に最後の加速器まで通らず、ネットに考えてビームが増えない可能性が出てきた。
- 低チャージから始めて、ある程度加速してから価数が高く取れるプラズマストリッパでは電子を剥ぎ取る方法を検討を開始
- 計算：
 - プラズマ温度=16000K
 - P=170 torr,
 - 50cm程度のものが必要
 - Thickness=17ug/cm²
 - プラズマの密度: $10^{17}/\text{cc}$
- 予定
 - 水素での点火(難しい?)
 - 中性ガスの断面積をしっかり測定
 - 分光等により電子温度や電子密度等を測定
 - プラズマウィンドウの長さ依存性